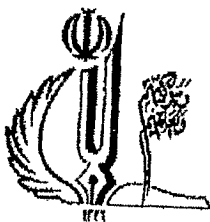


١٣٤٩ EV - ۲۰۱۹ V



دانشگاه تبریز

دانشکده شیمی

پایان نامه جهت دریافت درجه کارشناسی ارشد در رشته
شیمی فیزیک

عنوان:

مطالعه سیستمیک دگردادسیون التراسونیکی رودامین G6 در حضور
آب اکسیژنه و برخی اکسید فلزات

اساتید راهنما:

جناب آقای دکتر محمد تقی تقی زاده
جناب آقای دکتر عباس مهرداد

استاد مشاور:

۱۳۸۹/۰۱ - ۵

جناب آقای دکتر محمد تقی زعفرانی

دانشکده
تمامیت مدنی
تمثیلی

پژوهشگر:

نسرين پيكي نژاد

زمستان ۸۷

۱۳۴۹۴۷

تقدیم به پدر و مادر مهربانم که همواره

پشتیبانم بوده اند.

تقدیم به:

مونس زندگیم همسرم و دختر عزیزم آیلین

و

پدر و مادر همسرم و تمامی عزیزانم

با تقدیر و تشکر از :

استاد راهنمای بزرگوارم جناب آقای دکتر تقی زاده و جناب آقای دکتر مهرداد که امر سرپرستی این پایاننامه را بر عهده داشتند. و همواره مرا از راهنماییهای ارزشمند علمی و اخلاقی شان بهره مند ساختند.

استاد مشاور ارجمندم جناب آقای دکتر زعفرانی بخاطر راهنماییهای ارزشمندی که در انجام این پایاننامه مبذول داشتند.

جناب آقای دکتر اشعثی که زحمت داوری این پایاننامه را بر عهده داشتند.

ریاست محترم دانشکده شیمی جناب آقای دکتر مجیدی، معاونت محترم پژوهشی
جناب آقای دکتر نیایی و معاونت محترم آموزشی جناب آقای دکتر خاندار.

استاد گرانقدر گروه شیمی فیزیک، شیمی معدنی، شیمی تجزیه و شیمی آلی.
دوستان و همکاران عزیزم در آزمایشگاه اسپکتروسکوپی و سیتیک.

کلیه کارکنان محترم دانشکده شیمی، کادر محترم آموزش، دبیر خانه، کتابخانه،
کامپیوتر، زیراکس، کارگاه شیشه گری، انبار مواد، نگهداری، خدمات آموزشی و
تحصیلات تكمیلی.

فهرست مطالب

فصل اول

عنوان.....	صفحه.....
۱-۱ پیشینه پژوهشی.....	۱
۱-۲ التراسوند و سونو شیمی	۴
۱-۳ علل وقوع فرایند تخریب التراسونیکی.....	۵
۱-۴ عوامل موثر بر تخریب التراسونیکی.....	۸
۱-۴-۱ اثر نوع حلال بر تخریب التراسونیکی.....	۸
۱-۴-۲ اثر دما بر تخریب التراسونیکی.....	۸
۱-۴-۳ اثر شدت امواج التراسوند بر تخریب التراسونیکی.....	۹
۱-۴-۴ اثر گازهای حل شده در محلول بر تخریب التراسونیکی	۱۰
۱-۵ فرایند تخریب التراسونیکی	۱۰
۱-۶ فرایند اکسایش کاتالیزوری	۱۱
۱-۷ فرایند اکسایش شیمیایی.....	۱۱
۱-۸ فرایند اکسایش بصورت ترکیبی	۱۱
۱-۹ طبقه بندی مواد رنگی	۱۴
۱-۱۰ رودامین ها	۱۵
۱-۱۰-۱ تعریف و کاربرد رودامین 6G	۱۷
۱-۱۰-۲ تخریب رودامین 6G	۱۸
۱-۱۱ اهداف پایاننامه	۱۹

فصل دوم

۱-۲ مواد مصرفی	۲۱
۲-۲ دستگاههای مورد استفاده	۲۱
۳-۲ کارهای تجربی انجام یافته برای تعیین درجه واکنش تخریب شیمیایی رودامین 6G	۲۲
۴-۲ مطالعه سیتیک فرایند تخریب رودامین 6G در حضور آب اکسیژن و آلومینیوم اکسید	۲۲
۵-۲ مطالعه سیتیک فرایند تخریب رودامین 6G در حضور آب اکسیژن و اکسید آهن	۲۲
۶-۲ کارهای تجربی انجام یافته جهت تعیین انرژی فعال سازی	۲۳
۷-۲ کارهای تجربی انجام یافته جهت تخریب التراسونیکی رودامین 6G	۲۴
۸-۲ روش انجام تخریب شیمیایی رودامین 6G	۲۴
۹-۲ روش انجام تخریب التراسونیکی رودامین 6G	۲۴

فصل سوم

۱-۳ مطالعه تخریب رودامین 6G در حضور آب اکسیژن	۲۶
۲-۱-۱ تعیین درجه واکنش تخریب رودامین 6G نسبت به رودامین در حضور آب اکسیژن	۲۶
۲-۱-۲ تعیین درجه واکنش تخریب رودامین 6G نسبت به آب اکسیژن	۳۱
۲-۳ مطالعه سیتیک تخریب رودامین 6G در حضور آب اکسیژن و آلومینیوم اکسید	۳۷
۳-۱ تعیین درجه واکنش تخریب رودامین 6G نسبت به آلومینیوم اکسید در حضور آب اکسیژن	۳۷
۳-۲ تعیین درجه واکنش تخریب رودامین 6G نسبت به آب اکسیژن در حضور آلومینیوم اکسید	۴۱

۳-۳ مطالعه سینتیک تخریب رودامین 6G در حضور آب اکسیژنه و اکسید آهن.....	۵۰
۳-۳-۱ تعیین درجه واکنش تخریب رودامین 6G نسبت به اکسید آهن در حضور آب اکسیژنه	۵۰
۳-۳-۲ تعیین درجه واکنش تخریب رودامین 6G نسبت به آب اکسیژنه در حضور اکسید آهن.....	۵۶
۳-۴ تعیین انرژی فعالسازی فرایند تخریب رودامین 6G	۶۱
۳-۴-۱ تعیین انرژی فعالسازی فرایند تخریب رودامین 6G در حضور آب اکسیژنه.....	۶۲
۳-۴-۲ تعیین انرژی فعالسازی فرایند تخریب رودامین 6G در حضور آب اکسیژنه و آلومینیوم اکسید..	۶۷
۳-۴-۳ تعیین انرژی فعالسازی فرایند تخریب رودامین 6G در حضور آب اکسیژنه و اکسید آهن.....	۷۲
۳-۵ تخریب التراسونیکی رودامین 6G.....	۷۸
۳-۵-۱ تخریب التراسونیکی رودامین 6G در حضور آب اکسیژنه	۷۸
۳-۵-۲ تخریب التراسونیکی رودامین 6G در حضور آب اکسیژنه و آلومینیوم اکسید.....	۸۲
۳-۵-۳ تخریب التراسونیکی رودامین 6G در حضور آب اکسیژنه و اکسید آهن.....	۸۶
۳-۶ مقایسه تخریب شیمیایی و التراسونیکی رودامین 6G	۹۰
۳-۶-۱ مقایسه تخریب شیمیایی و التراسونیکی رودامین 6G در حضور آب اکسیژنه	۹۰
۳-۶-۲ مقایسه تخریب شیمیایی و التراسونیکی رودامین 6G در حضور آب اکسیژنه و آلومینیوم اکسید	۹۱
۳-۶-۳ مقایسه تخریب شیمیایی و التراسونیکی رودامین 6G در حضور آب اکسیژنه و اکسید آهن.....	۹۲
۳-۷ نتیجه گیری و پیشنهادات.....	۹۴

فهرست جداول

عنوان.....	صفحه.....
جدول (۱-۳) مقادیر α بر حسب زمان واکنش تخریب رودامین 6G با غلظت‌های اولیه متفاوت در حضور آب اکسیژن با غلظت $[H_2O_2]_0 = 5.518 \text{ mol/lit}$	۲۹.....
جدول (۲-۳) مقادیر α بر حسب زمان واکنش تخریب رودامین 6G با غلظت $[R6G]_0 = 2.28 \times 10^{-5} \text{ mol/lit}$ در حضور آب اکسیژن با غلظت‌های مختلف در دمای 298 K	۳۵.....
جدول (۳-۳) مقادیر α بر حسب زمان واکنش تخریب رودامین 6G با غلظت $[R6G]_0 = 2.28 \times 10^{-5} \text{ mol/lit}$ در حضور آب اکسیژن با $[H_2O_2]_0 = 5.518 \text{ mol/lit}$ و در حضور اکسید آلمونیوم با مقادیر متفاوت	۴۱.....
جدول (۴-۳) مقادیر α بر حسب زمان واکنش تخریب رودامین 6G با غلظت $[R6G]_0 = 2.28 \times 10^{-5} \text{ mol/lit}$ و در حضور آب اکسیژن با غلظت‌های مختلف	۴۷.....
جدول (۵-۳) مقادیر α بر حسب زمان واکنش تخریب رودامین 6G با غلظت $[R6G]_0 = 2.28 \times 10^{-5} \text{ mol/lit}$ در حضور آب اکسیژن با $[H_2O_2]_0 = 5.815 \text{ mol/lit}$ و در حضور اکسید آهن (II) با مقادیر متفاوت	۵۳.....
جدول (۶-۳) مقادیر α بر حسب زمان واکنش تخریب رودامین 6G با غلظت $[R6G]_0 = 2.28 \times 10^{-5} \text{ mol/lit}$ در حضور اکسید آهن $[FeO]_0 = 2 \text{ g/lit}$ و آب اکسیژن با علظت‌های مختلف	۵۹.....
جدول (۷-۳) مقادیر α بر حسب زمان واکنش رودامین 6G با غلظت $[R6G]_0 = 2.28 \times 10^{-5} \text{ mol/lit}$ در حضور آب اکسیژن با غلظت $[H_2O_2]_0 = 5.518 \text{ mol/lit}$ در دماهای مختلف	۶۵.....
جدول (۸-۳) مقادیر α بر حسب زمان واکنش تخریب رودامین 6G با غلظت $[R6G]_0 = 2.28 \times 10^{-5} \text{ mol/lit}$ در حضور آب اکسیژن با غلظت $[H_2O_2]_0 = 5.518 \text{ mol/lit}$ و در حضور آلمونیوم اکسید $[Al_2O_3]_0 = 20 \text{ g/lit}$ در دماهای مختلف	۷۰.....
جدول (۹-۳) مقادیر α بر حسب زمان واکنش تخریب رودامین 6G با غلظت $[R6G]_0 = 2.28 \times 10^{-5} \text{ mol/lit}$ در حضور آب اکسیژن با غلظت $[H_2O_2]_0 = 5.518 \text{ mol/lit}$ و در حضور اکسید آهن (II)	۷۵.....
جدول (۱۰-۳) مقادیر α بر حسب زمان واکنش تخریب رودامین 6G با غلظت $[R6G]_0 = 2.28 \times 10^{-5} \text{ mol/lit}$	

در حضور آب اکسیژنه با غلظت $[H_2O_2]_0 = 5/518 \text{ mol/lit}$ در توان های مختلف در دمای 298 .. ۸۰

جدول (۱۱-۳) مقادیر α بر حسب زمان واکنش تخریب رودامین 6G با غلظت $[R6G]_0 = 2.28 \times 10^{-5} \text{ mol/lit}$ در حضور آب اکسیژنه با غلظت $[H_2O_2]_0 = 5.815 \text{ mol/lit}$ و در حضور آلومینیوم اکسید $[Al_2O_3]_0 = 20 \text{ g/lit}$ در توان های التراسوند متفاوت..... ۸۴

جدول (۱۲-۳) مقادیر α بر حسب زمان واکنش تخریب رود امین 6G با غلظت $[R6G] = 2.28 \times 10^{-5} \text{ mol/lit}$ در حضور آب اکسیژنه با غلظت $[H_2O_2]_0 = 5.815 \text{ mol/lit}$ و در حضور آهن اکسید $[FeO] = 2 \text{ g/lit}$ در توان های التراسوند متفاوت..... ۸۸

فهرست اشکال

عنوان.....	صفحه.....
شکل (۱-۱) ساختمان مولکولی رودامینها.....	۱۷.....
شکل (۲-۱) اثر pH و حضور یونها.....	۱۹.....
شکل (۱-۳) طیف جذبی رودامین G 6 در زمانهای مختلف تخریب در شرایط [R6G] ₀ = 7.36×10^{-6} mol/lit و [H ₂ O ₂] ₀ =5.518 mol/lit در دمای 298 K.....	۲۶.....
شکل (۲-۳) طیف جذبی رودامین G 6 در زمانهای مختلف تخریب در شرایط [R6G] ₀ = 1.104×10^{-5} mol/lit و [H ₂ O ₂] ₀ =5.518 mol/lit در دمای 298 K.....	۲۷.....
شکل (۳-۳) طیف جذبی رودامین G 6 در زمانهای مختلف تخریب در شرایط [R6G] ₀ = 1.472×10^{-5} mol/lit و [H ₂ O ₂] ₀ =5.518 mol/lit در دمای 298 K.....	۲۷.....
شکل (۴-۳) طیف جذبی رودامین G 6 در زمانهای مختلف تخریب در شرایط [R6G] ₀ = 1.84×10^{-5} mol/lit و [H ₂ O ₂] ₀ =5.518 mol/lit در دمای 298 K.....	۲۸.....
شکل (۵-۳) طیف جذبی رودامین G 6 در زمانهای مختلف تخریب در شرایط [R6G] ₀ = 2.28×10^{-5} mol/lit و [H ₂ O ₂] ₀ =5.518 mol/lit در دمای 298 K.....	۲۸.....
شکل (۶-۳) نمودار تغیرات $\text{Ln}\alpha$ -بر حسب زمان تخریب رودامین G 6 در شرایط [H ₂ O ₂] ₀ =5.518 mol/lit و رودامین G 6 با غلظتها اولیه متفاوت در دمای 298 K.....	۳۱.....
شکل (۷-۳) طیف جذبی رودامین G 6 در زمانهای مختلف تخریب در شرایط [R6G] ₀ = 2.28×10^{-5} mol/lit و [H ₂ O ₂] ₀ =1.163 mol/lit در دمای 298 K.....	۳۲.....
شکل (۸-۳) طیف جذبی رودامین G 6 در زمانهای مختلف تخریب در شرایط [R6G] ₀ = 2.28×10^{-5} mol/lit و [H ₂ O ₂] ₀ =2.326 mol/lit در دمای 298 K.....	۳۲
شکل (۹-۳) طیف جذبی رودامین G 6 در زمانهای مختلف تخریب در شرایط [R6G] ₀ = 2.28×10^{-5} mol/lit	

و $[H_2O_2]_0 = 3.489 \text{ mol/lit}$ در دمای 298 K ۲۲

شکل (۱۰-۳) طیف جذبی رودامین G ۶ در زمانهای مختلف تخریب در شرایط $[R6G]_0 = 2.28 \times 10^{-5} \text{ mol/lit}$ و $[H_2O_2]_0 = 4.652 \text{ mol/lit}$ ۲۳

شکل (۱۱-۳) طیف جذبی رودامین G ۶ در زمانهای مختلف تخریب در شرایط $[R6G]_0 = 2.28 \times 10^{-5} \text{ mol/lit}$ و $[H_2O_2]_0 = 5.518 \text{ mol/lit}$ ۲۴

شکل (۱۲-۳) نمودار $-Ln\alpha$ - بحسب زمان تخریب رودامین G ۶ با غلظت $[R6G]_0 = 2.28 \times 10^{-5} \text{ mol/lit}$ و غلظت‌های مختلف آب اکسیژن در دمای 298 K ۲۵

شکل (۱۳-۳) نمودار تغییرات (k') بحسب $\ln[H_2O_2]$ برای $[R6G]_0 = 2.28 \times 10^{-5} \text{ mol/lit}$ و غلظت‌های اولیه متفاوت آب اکسیژن در دمای 298 K ۲۶

شکل (۱۴-۳) طیف جذبی رودامین G ۶ در زمانهای مختلف تخریب در شرایط $[R6G]_0 = 2.28 \times 10^{-5} \text{ mol/lit}$ و $[Al_2O_3]_0 = 5 \text{ g/lit}$ در دمای $[H_2O_2]_0 = 5.518 \text{ mol/lit}$ ۲۷

شکل (۱۵-۳) طیف جذبی رودامین G ۶ در زمانهای مختلف تخریب در شرایط $[R6G]_0 = 2.28 \times 10^{-5} \text{ mol/lit}$ و $[Al_2O_3]_0 = 10 \text{ g/lit}$ در دمای $[H_2O_2]_0 = 5.518 \text{ mol/lit}$ ۲۸

شکل (۱۶-۳) طیف جذبی رودامین G ۶ در زمانهای مختلف تخریب در شرایط $[R6G]_0 = 2.28 \times 10^{-5} \text{ mol/lit}$ و $[Al_2O_3]_0 = 15 \text{ g/lit}$ در دمای $[H_2O_2]_0 = 5.518 \text{ mol/lit}$ ۲۹

شکل (۱۷-۳) طیف جذبی رودامین G ۶ در زمانهای مختلف تخریب در شرایط $[R6G]_0 = 2.28 \times 10^{-5} \text{ mol/lit}$ و $[Al_2O_3]_0 = 20 \text{ g/lit}$ در دمای $[H_2O_2]_0 = 5.518 \text{ mol/lit}$ ۳۰

شکل (۱۸-۳) طیف جذبی رودامین G ۶ در زمانهای مختلف تخریب در شرایط $[R6G]_0 = 2.28 \times 10^{-5} \text{ mol/lit}$ و $[Al_2O_3]_0 = 30 \text{ g/lit}$ در دمای $[H_2O_2]_0 = 5.518 \text{ mol/lit}$ ۴۰

شکل (۱۹-۳) نمودار تغییرات α - بحسب زمان تخریب رودامین G ۶ در شرایط $\times 10^{-5} \text{ mol/lit}$ و $[H_2O_2]_0 = 5.518 \text{ mol/lit}$ ۴۲

$[R6G]_0 = 2.28$ در دمای 298 K

شکل (۲۰-۳) نمودار تغییرات (k') بحسب $\ln[Al_2O_3]$ در شرایط $[R6G]_0 = 2.28 \times 10^{-5} \text{ mol/lit}$ و $[H_2O_2]_0 = 5.518 \text{ mol/lit}$ ۴۳

در دمای 298 K

شکل (۲۱-۳) طیف جذبی رودامین 6 در زمانهای مختلف تخریب در شرایط $[R6G]_0=2.28 \times 10^{-5} \text{ mol/lit}$ و $[H_2O_2]_0=1.163 \text{ mol/lit}$ در دمای 298 K و $[Al_2O_3]_0=20 \text{ g/lit}$

شکل (۲۲-۳) طیف جذبی رودامین 6 در زمانهای مختلف تخریب در شرایط $[R6G]_0=2.28 \times 10^{-5} \text{ mol/lit}$ و $[H_2O_2]_0=2.326 \text{ mol/lit}$ در دمای 298 K و $[Al_2O_3]_0=20 \text{ g/lit}$

شکل (۲۳-۳) طیف جذبی رودامین 6 در زمانهای مختلف تخریب در شرایط $[R6G]_0=2.28 \times 10^{-5} \text{ mol/lit}$ و $[H_2O_2]_0=3.489 \text{ mol/lit}$ در دمای 298 K و $[Al_2O_3]_0=20 \text{ g/lit}$

شکل (۲۴-۳) طیف جذبی رودامین 6 در زمانهای مختلف تخریب در شرایط $[R6G]_0=2.28 \times 10^{-5} \text{ mol/lit}$ و $[H_2O_2]_0=4.625 \text{ mol/lit}$ در دمای 298 K و $[Al_2O_3]_0=20 \text{ g/lit}$

شکل (۲۵-۳) طیف جذبی رودامین 6 در زمانهای مختلف تخریب در شرایط $[R6G]_0=2.28 \times 10^{-5} \text{ mol/lit}$ و $[H_2O_2]_0=5.518 \text{ mol/lit}$ در دمای 298 K و $[Al_2O_3]_0=20 \text{ g/lit}$

شکل (۲۶-۳) نمودار تغییرات α -Ln بر حسب زمان تخریب رودامین 6 در شرایط $[R6G]_0=2.28 \times 10^{-5} \text{ mol/lit}$ و مقادیر متفاوت آب اکسیژن در دمای 298 K

شکل (۲۷-۳) نمودار تغییرات $\ln(k')$ بر حسب $[H_2O_2]$ در شرایط $[R6G]_0=2.28 \times 10^{-5} \text{ mol/lit}$ و $[Al_2O_3]_0=20 \text{ g/lit}$ و غلظت‌های مختلفی از آب اکسیژن در دمای 298 K

شکل (۲۸-۳) طیف جذبی رودامین 6 در زمانهای مختلف تخریب در شرایط $[R6G]=2.28 \times 10^{-5} \text{ mol/lit}$ در دمای 298 K و $[FeO]_0=1 \text{ g/lit}$ و $[H_2O_2]_0=5.518 \text{ mol/lit}$

شکل (۲۹-۳) طیف جذبی رودامین 6 در زمانهای مختلف تخریب در شرایط $[R6G]_0=2.28 \times 10^{-5} \text{ mol/lit}$ و $[FeO]_0=2 \text{ g/lit}$ در دمای 298 K و $[H_2O_2]_0=5.518 \text{ mol/lit}$

شکل (۳۰-۳) طیف جذبی رودامین 6 در زمانهای مختلف تخریب در شرایط $[R6G]_0=2.28 \times 10^{-5} \text{ mol/lit}$ و $[FeO]_0=3 \text{ g/lit}$ در دمای 298 K و $[H_2O_2]_0=5.518 \text{ mol/lit}$

شکل (۳۱-۳) طیف جذبی رودامین 6 در زمانهای مختلف تخریب در شرایط $[R6G]_0=2.28 \times 10^{-5} \text{ mol/lit}$ و $[FeO]_0=4 \text{ g/lit}$ در دمای 298 K و $[H_2O_2]_0=5.518 \text{ mol/lit}$

شکل (۳۲-۳) طیف جذبی رودامین G در زمانهای مختلف تخریب در شرایط $[R6G]_0 = 2.28 \times 10^{-5} \text{ mol/lit}$ و $[FeO]_0 = 5 \text{ g/lit}$ و $[H_2O_2]_0 = 5.518 \text{ mol/lit}$ در دمای ۲۹۸ K

شکل (۳۳-۳) نمودار تغییرات $\ln\alpha$ -بر حسب زمان واکنش تخریب رودامین G در $[R6G]_0 = 2.28 \times 10^{-5} \text{ mol/lit}$ و $[H_2O_2]_0 = 5.518 \text{ mol/lit}$ در دمای ۲۹۸ K و مقایر متفاوت اکسید آهن (II)

شکل (۳۴-۳) نمودار تغییرات $\ln(k'/k)$ -بر حسب $\ln([FeO]/[FeO]_0)$ برای مقادیر مختلفی از اکسید آهن (II) در دمای ۲۹۸ K و $[H_2O_2]_0 = 5.518 \text{ mol/lit}$ و $[R6G]_0 = 2.28 \times 10^{-5} \text{ mol/lit}$

شکل (۳۵-۳) طیف جذبی رودامین G در زمانهای مختلف تخریب در شرایط $[R6G]_0 = 2.28 \times 10^{-5} \text{ mol/lit}$ و $[H_2O_2]_0 = 1.163 \text{ mol/lit}$ و $[FeO]_0 = 2 \text{ g/lit}$ در دمای ۲۹۸ K

شکل (۳۶-۳) طیف جذبی رودامین G در زمانهای مختلف تخریب در شرایط $[R6G]_0 = 2.28 \times 10^{-5} \text{ mol/lit}$ و $[H_2O_2]_0 = 2.326 \text{ mol/lit}$ و $[FeO]_0 = 2 \text{ g/lit}$ در دمای ۲۹۸ K

شکل (۳۷-۳) طیف جذبی رودامین G در زمانهای مختلف تخریب در شرایط $[R6G]_0 = 2.28 \times 10^{-5} \text{ mol/lit}$ و $[H_2O_2]_0 = 3.489 \text{ mol/lit}$ و $[FeO]_0 = 2 \text{ g/lit}$ در دمای ۲۹۸ K

شکل (۳۸-۳) طیف جذبی رودامین G در زمانهای مختلف تخریب در شرایط $[R6G]_0 = 2.28 \times 10^{-5} \text{ mol/lit}$ و $[H_2O_2]_0 = 4.625 \text{ mol/lit}$ و $[FeO]_0 = 2 \text{ g/lit}$ در دمای ۲۹۸ K

شکل (۳۹-۳) طیف جذبی رودامین G در زمانهای مختلف تخریب در شرایط $[R6G]_0 = 2.28 \times 10^{-5} \text{ mol/lit}$ و $[H_2O_2]_0 = 5.518 \text{ mol/lit}$ و $[FeO]_0 = 2 \text{ g/lit}$ در دمای ۲۹۸ K

شکل (۴۰-۳) نمودار تغییرات $\ln\alpha$ -بر حسب زمان واکنش تخریب رودامین G در شرایط $[R6G]_0 = 2.28 \times 10^{-5} \text{ mol/lit}$ و $[FeO]_0 = 2 \text{ g/lit}$ و غلظت های مختلفی از آب اکسیژن

شکل (۴۱-۳) نمودار $\ln(k'/k)$ -بر حسب $\ln([H_2O_2]/[H_2O_2]_0)$ برای غلظت های مختلفی از آب اکسیژن در شرایط $[R6G]_0 = 2.28 \times 10^{-5} \text{ mol/lit}$ و $[FeO]_0 = 10 \text{ g/lit}$ در دمای ۲۹۸ K

شکل (۴۲-۳) طیف جذبی رودامین G در زمانهای مختلف تخریب در حضور آب اکسیژن در شرایط $T = 293 \text{ K}$ و $[H_2O_2]_0 = 5.518 \text{ mol/lit}$ و $[R6G]_0 = 2.28 \times 10^{-5} \text{ mol/lit}$

شکل (۴۳-۳) طیف جذبی رودامین G در زمانهای مختلف تخریب در حضور آب اکسیژن در شرایط

۶۳..... $T = 298\text{ K}$ و $[H_2O_2]_0 = 5.518 \text{ mol/lit}$ و $[R6G]_0 = 2.28 \times 10^{-5} \text{ mol/lit}$

شکل (۴۴-۳) طیف جذبی رودامین G 6 در زمان‌های مختلف تخریب در حضور آب اکسیژنه در شرایط
۶۳..... $T = 303\text{ K}$ و $[H_2O_2]_0 = 5.518 \text{ mol/lit}$ و $[R6G]_0 = 2.28 \times 10^{-5} \text{ mol/lit}$

شکل (۴۵-۳) طیف جذبی رودامین G 6 در زمان‌های مختلف تخریب در حضور آب اکسیژنه در شرایط
۶۴..... $T = 308\text{ K}$ و $[H_2O_2]_0 = 5.518 \text{ mol/lit}$ و $[R6G]_0 = 2.28 \times 10^{-5} \text{ mol/lit}$

شکل (۴۶-۳) طیف جذبی رودامین G 6 در زمان‌های مختلف تخریب در حضور آب اکسیژنه در شرایط
۶۴..... $T = 313\text{ K}$ و $[H_2O_2]_0 = 5.518 \text{ mol/lit}$ و $[R6G]_0 = 2.28 \times 10^{-5} \text{ mol/lit}$

شکل (۴۷-۳) نمودار $\ln\alpha$ - بر حسب زمان تخریب رودامین G 6 در حضور آب اکسیژنه در شرایط
۶۶..... $[H_2O_2]_0 = 5.518 \text{ mol/lit}$ و $[R6G]_0 = 2.28 \times 10^{-5} \text{ mol/lit}$ در دماهای مختلف

شکل (۴۸-۳) نمودار $\ln(k'/T)$ بر حسب $1/T$ برای تخریب رودامین G 6 در شرایط
۶۷..... $[H_2O_2]_0 = 5.518 \text{ mol/lit}$ و $[R6G]_0 = 2.28 \times 10^{-5} \text{ mol/lit}$ در دماهای مختلف

شکل (۴۹-۳) طیف جذبی رودامین G 6 در زمان‌های مختلف تخریب در شرایط
۶۸..... $T = 293\text{ K}$ و $[Al_2O_3]_0 = 20 \text{ g/lit}$ و $[H_2O_2]_0 = 5.518 \text{ mol/lit}$ و $[R6G]_0 = 2.28 \times 10^{-5} \text{ mol/lit}$

شکل (۵۰-۳) طیف جذبی رودامین G 6 در زمان‌های مختلف تخریب در شرایط
۶۸..... $T = 298\text{ K}$ و $[Al_2O_3]_0 = 20 \text{ g/lit}$ و $[H_2O_2]_0 = 5.518 \text{ mol/lit}$ و $[R6G]_0 = 2.28 \times 10^{-5} \text{ mol/lit}$

شکل (۵۱-۳) طیف جذبی رودامین G 6 در زمان‌های مختلف تخریب در شرایط
۶۹..... $T = 303\text{ K}$ و $[Al_2O_3]_0 = 20 \text{ g/lit}$ و $[H_2O_2]_0 = 5.518 \text{ mol/lit}$ و $[R6G]_0 = 2.28 \times 10^{-5} \text{ mol/lit}$

شکل (۵۲-۳) طیف جذبی رودامین G 6 در زمان‌های مختلف تخریب در شرایط
۷۹..... $T = 308\text{ K}$ و $[Al_2O_3]_0 = 20 \text{ g/lit}$ و $[H_2O_2]_0 = 5.518 \text{ mol/lit}$ و $[R6G]_0 = 2.28 \times 10^{-5} \text{ mol/lit}$

شکل (۵۳-۳) طیف جذبی رودامین G 6 در زمان‌های مختلف تخریب در شرایط
۷۹..... $T = 313\text{ K}$ و $[Al_2O_3]_0 = 20 \text{ g/lit}$ و $[H_2O_2]_0 = 5.518 \text{ mol/lit}$ و $[R6G]_0 = 2.28 \times 10^{-5} \text{ mol/lit}$

شكل (۵۴-۳) مقادیر $\ln\alpha$ - بر حسب زمان واکنش تخریب در شرایط $[R6G]_0 = 2.28 \times 10^{-5} \text{ mol/lit}$ و $[Al_2O_3]_0 = 20 \text{ g/lit}$ و $[H_2O_2]_0 = 5.518 \text{ mol/lit}$
۷۰

شكل (۵۵-۳) نمودار تغییرات (k') بر حسب $1/T$ برای تخریب رودامین 6G در شرایط $[Al_2O_3]_0 = 20 \text{ g/lit}$ و $[H_2O_2]_0 = 5.518 \text{ mol/lit}$ و $[R6G]_0 = 2.28 \times 10^{-5} \text{ mol/lit}$ در دماهای مختلف
۷۱

شكل (۵۶-۳) طیف جذبی رودامین 6G در زمان های مختلف تخریب در شرایط $T = 293 \text{ K}$ و $[FeO]_0 = 2 \text{ g/lit}$ و $[H_2O_2]_0 = 5.518 \text{ mol/lit}$ و $[R6G]_0 = 2.28 \times 10^{-5} \text{ mol/lit}$
۷۲

شكل (۵۷-۳) طیف جذبی رودامین 6G در زمان های مختلف تخریب در شرایط $T = 298 \text{ K}$ و $[FeO]_0 = 2 \text{ g/lit}$ و $[H_2O_2]_0 = 5.518 \text{ mol/lit}$ و $[R6G]_0 = 2.28 \times 10^{-5} \text{ mol/lit}$
۷۳

شكل (۵۸-۳) طیف جذبی رودامین 6G در زمان های مختلف تخریب در شرایط $T = 303 \text{ K}$ و $[FeO]_0 = 2 \text{ g/lit}$ و $[H_2O_2]_0 = 5.518 \text{ mol/lit}$ و $[R6G]_0 = 2.28 \times 10^{-5} \text{ mol/lit}$
۷۴

شكل (۵۹-۳) طیف جذبی رودامین 6G در زمان های مختلف تخریب در شرایط $T = 308 \text{ K}$ و $[FeO]_0 = 2 \text{ g/lit}$ و $[H_2O_2]_0 = 5.518 \text{ mol/lit}$ و $[R6G]_0 = 2.28 \times 10^{-5} \text{ mol/lit}$
۷۵

شكل (۶۰-۳) طیف جذبی رودامین 6G در زمان های مختلف تخریب در شرایط $T = 313 \text{ K}$ و $[FeO]_0 = 2 \text{ g/lit}$ و $[H_2O_2]_0 = 5.518 \text{ mol/lit}$ و $[R6G]_0 = 2.28 \times 10^{-5} \text{ mol/lit}$
۷۶

شكل (۶۱-۳) مقادیر $\ln\alpha$ - بر حسب زمان واکنش تخریب رودامین 6G در شرایط $[FeO]_0 = 10 \text{ g/lit}$ و $[H_2O_2]_0 = 5.518 \text{ mol/lit}$ و $[R6G]_0 = 2.28 \times 10^{-5} \text{ mol/lit}$ در دماهای متفاوت
۷۷

شكل (۶۲-۳) نمودار (k') بر حسب $1/T$ برای تخریب رودامین 6G در شرایط $[FeO]_0 = 10 \text{ g/lit}$ و $[H_2O_2]_0 = 5.518 \text{ mol/lit}$ و $[R6G]_0 = 2.28 \times 10^{-5} \text{ mol/lit}$ در دماهای متفاوت
۷۸

شکل (۶۳-۳) طیف جذبی رودامین 6G در زمان های مختلف تخریب در شرایط
 $[H_2O_2]_0 = 5.518 \text{ mol/lit}$ و $P=160 \text{ W}$ در دمای 298 K

۷۸.....

شکل (۶۴-۳) طیف جذبی رودامین 6G در زمان های مختلف تخریب در شرایط
 $[H_2O_2]_0 = 5.518 \text{ mol/lit}$ و $P=240 \text{ W}$ در دمای 298 K

۷۹.....

شکل (۶۵-۳) طیف جذبی رودامین 6G در زمان های مختلف تخریب در شرایط
 $[H_2O_2]_0 = 5.518 \text{ mol/lit}$ و $P=320 \text{ W}$ در دمای 298 K

۸۰.....

شکل (۶۶-۳) طیف جذبی رودامین G در زمان های مختلف تخریب در شرایط
 $[H_2O_2]_0 = 5.518 \text{ mol/lit}$ و $P=400 \text{ W}$ در دمای 298 K

۸۱.....

شکل (۶۷-۳) نمودار تغییرات $L\alpha$ - بر حسب زمان واکنش تخریب التراسونیکی رودامین 6G در شرایط
 $[H_2O_2]_0 = 5.518 \text{ mol/lit}$ و $[R6G]_0 = 2.28 \times 10^{-5} \text{ mol/lit}$ در دمای 298 K

۸۲.....

شکل (۶۸-۳) طیف جذبی رودامین 6G در زمان های مختلف تخریب التراسونیکی در شرایط
 $P=160 \text{ W}$ و $[Al_2O_3]_0 = 20 \text{ g/lit}$ و $[H_2O_2]_0 = 5.518 \text{ mol/lit}$ و $[R6G]_0 = 2.28 \times 10^{-5} \text{ mol/lit}$

شکل (۶۹-۳) طیف جذبی رودامین 6G در زمان های مختلف تخریب التراسونیکی در شرایط
 $P=240 \text{ W}$ و $[Al_2O_3]_0 = 20 \text{ g/lit}$ و $[H_2O_2]_0 = 5.518 \text{ mol/lit}$ و $[R6G]_0 = 2.28 \times 10^{-5} \text{ mol/lit}$

۸۳.....

شکل (۷۰-۳) طیف جذبی رودامین G در زمان های مختلف تخریب التراسونیکی در شرایط
 $P=320 \text{ W}$ و $[Al_2O_3]_0 = 20 \text{ g/lit}$ و $[H_2O_2]_0 = 5.518 \text{ mol/lit}$ و $[R6G]_0 = 2.28 \times 10^{-5} \text{ mol/lit}$

۸۴.....

شکل (۷۱-۳) طیف جذبی رودامین 6G در زمان های مختلف تخریب التراسونیکی در شرایط
 $P=400 \text{ W}$ و $[Al_2O_3]_0 = 20 \text{ g/lit}$ و $[H_2O_2]_0 = 5.518 \text{ mol/lit}$ و $[R6G]_0 = 2.28 \times 10^{-5} \text{ mol/lit}$

۸۴.....

شکل (۷۲-۳) نمودار Lna - α بر حسب زمان واکنش تخریب التراسونیکی رودامین 6G در شرایط $[Al_2O_3]_0 = 20 \text{ g/lit}$ و $[H_2O_2]_0 = 5.518 \text{ mol/lit}$ و $[R6G]_0 = 2.28 \times 10^{-5} \text{ mol/lit}$

۸۵.....

شکل (۷۳-۳) طیف جذبی رودامین 6G در زمان های مختلف تخریب التراسونیکی در شرایط $P=160 \text{ W}$ و $[FeO]_0 = 2 \text{ g/lit}$ و $[H_2O_2]_0 = 5.518 \text{ mol/lit}$ و $[R6G]_0 = 2.28 \times 10^{-5} \text{ mol/lit}$

۸۶.....

شکل (۷۴-۳) طیف جذبی رودامین 6G در زمان های مختلف تخریب التراسونیکی در شرایط $P=240 \text{ W}$ و $[FeO]_0 = 2 \text{ g/lit}$ و $[H_2O_2]_0 = 5.518 \text{ mol/lit}$ و $[R6G]_0 = 2.28 \times 10^{-5} \text{ mol/lit}$

۸۷.....

شکل (۷۵-۳) طیف جذبی رودامین 6G در زمان های مختلف تخریب التراسونیکی در شرایط $P=320 \text{ W}$ و $[FeO]_0 = 2 \text{ g/lit}$ و $[H_2O_2]_0 = 5.518 \text{ mol/lit}$ و $[R6G]_0 = 2.28 \times 10^{-5} \text{ mol/lit}$

۸۸.....

شکل (۷۶-۳) طیف جذبی رودامین 6G در زمان های مختلف تخریبی التراسونیکی در شرایط $P=160 \text{ W}$ و $[FeO]_0 = 2 \text{ g/lit}$ و $[H_2O_2]_0 = 5.518 \text{ mol/lit}$ و $[R6G]_0 = 2.28 \times 10^{-5} \text{ mol/lit}$

۸۹.....

شکل (۷۷-۳) نمودار تغییرات Lna - α بر حسب زمان واکنش تخریب التراسونیکی رودامین 6G در شرایط $[FeO]_0 = 2 \text{ g/lit}$ و $[H_2O_2]_0 = 5.518 \text{ mol/lit}$ و $[R6G]_0 = 2.28 \times 10^{-5} \text{ mol/lit}$ و توانهای مختلف

۹۰.....

شکل (۷۸-۳) نمودار Lna بر حسب زمان تخریب رودامین 6G در شرایط $[R6G]_0 = 2.28 \times 10^{-5} \text{ mol/lit}$ و $[H_2O_2]_0 = 5.518 \text{ mol/lit}$

۹۱.....

شکل (۷۹-۳) نمودار Lna بر حسب زمان تخریب رودامین 6G در شرایط $[R6G]_0 = 2.28 \times 10^{-5} \text{ mol/lit}$ و $[Al_2O_3]_0 = 20 \text{ g/lit}$ و $[H_2O_2]_0 = 5.518 \text{ mol/lit}$

۹۲.....

شکل (۸۰-۳) نمودار Lna بر حسب زمان تخریب رودامین 6G در شرایط $[R6G]_0 = 2.28 \times 10^{-5} \text{ mol/lit}$ و $[FeO]_0 = 2 \text{ g/lit}$ و $[H_2O_2]_0 = 5.518 \text{ mol/lit}$

۹۳.....

نام خانوادگی : پیکی نژاد	نام : نسرین	
عنوان پایاننامه : مطالعه سیستمیک تخریب التراسونیکی رودامین 6G در حضور آب اکسیژنه و اکسید فلزات		
اساتید راهنمای : آقای دکتر محمد تقی تقی زاده - آقای دکتر عباس مهرداد		
استاد مشاور : آقای دکتر محمد تقی زعفرانی		
گرایش : شیمی فیزیک	رشته : شیمی	قطعه تحصیلی : کارشناسی ارشد
تعداد صفحه : ۱۰۰	تاریخ فارغ التحصیلی : زمستان ۱۳۸۷	دانشگاه : تبریز
کلید واژه‌ها : تخریب التراسونیکی، رودامین 6G، ثابت سرعت، آب اکسیژنه، آلومینیوم اکسید و اکسید آهن.		

چکیده:

پساب اغلب واحدهای رنگرزی و نساجی حاوی مقادیر قابل توجهی از ترکیبات آلی و سمی هستند. از جمله این ترکیبات مواد رنگی می باشند. رودامین 6G که یکی از رنگهای مورد استفاده در صنایع است، به وسیله فرایندهای اکسایش التراسونیکی، فتوکاتالیزوری شیمیایی و... قابل تجزیه می باشد. در این کار پژوهشی پارامترهایی نظیر غلظت اولیه رودامین 6G، غلظت آب اکسیژنه، کاتالیزورهای اکسید فلزات، دما و التراسوند در تجزیه و واکنش تخریب رودامین 6G مورد بررسی قرار گرفت. از بررسی واکنش تخریب در غلظتهاي متفاوت رودامين 6G، آب اکسیژنه و مقادير متفاوت آلومينيوم اکسيد و اکسيد آهن درجه واکنش نسبت به هر كدام از واکنش دهندهها تعين شده است. از بررسی واکنش تخریب در دماهای متفاوت در محدوده دمای ۲۰ الی ۴۰ درجه سانتيگراد و با استفاده از رابطه آرنیوس انرژی فعالسازی محاسبه شده است. مقادير انرژي فعالسازی محاسبه شده به ترتيب برای تخریب رودامين 6G در حضور آب اکسیژنه، در حضور آب اکسیژنه-اکسید آلومینیوم و در حضور آب اکسیژنه-اکسید آهن عبارتند از ۵۵/۳۸، ۴۶/۸۰ و ۴۵/۹۰ کيلو ژول بر مول. در قسمت بعدی پایاننامه، تخریب التراسونیکی رودامین 6G در توانهای متفاوت بین ۱۶۰ الی ۴۰۰ وات در حضور آب اکسیژنه و اکسید فلزات آلومینیوم و آهن بررسی شد. بررسی نتایج نشان می دهد که هر چه شدت امواج التراسوند بیشتر باشد، سرعت تخریب نیز افزایش می یابد. زیرا با افزایش توان التراسوند، فرایند حفره سازی و انهدام حبابها با شدت بیشتری صورت می گیرد و در نتیجه رادیکالهای (OH^0) و (O^0) که عامل اصلی تخریب هستند به راحتی تامین می شوند.

فصل اول

